

# 强离子隙在急性呼吸衰竭中的应用研究

张忠源 章 涛

**摘要 目的** 评估强离子隙(SIG)作为急性呼吸衰竭(ARF)患者死亡风险预测因子的临床价值。**方法** 在测定血气、血pH值、电解质结果基础上,应用 Stewart - Figge 方法学的方程式计算 SIG。**结果** (1) ARF发生率最高的基础疾病是急性呼吸窘迫综合征(占 26%)和心源性肺水肿(占 26%)。(2) ARF 组  $T_1$  与对照组相比,除  $\text{Na}^+$  和  $\text{PO}_4^-$  无差别外,其余各指标差异均有统计学意义( $P < 0.01$ );但恢复组  $T_2$  与对照组相比,各指标差异均无统计学意义。(3)发生 ARF 的患者中,恢复组  $T_1$  与死亡组  $T_1$  检测各指标比较:两组间只有 AG、SIG 差异有统计学意义( $P < 0.01$ )。(4)AG 和 SIG 相关 ROC 曲线参数比较:SIG 曲线下面积更大达到 0.904,诊断准确性高;以 15.4mmol/L 作为 AG 的 cut-off 值,以 6.77mmol/L 作为 SIG 的 cut-off 值,计算相关 ROC 曲线参数,SIG 的敏感度、Youden 指数、阴性预测值、阴性似然比等参数优于 AG。**结论** (1)在发生 ARF 之初,AG 和 SIG 就可以较敏感地体现患者的复合酸碱紊乱状态,且 AG 和 SIG 有可能作为预测 ARF 患者死亡风险的预测因子,提示预后不良。(2)作为 ARF 患者死亡风险的预测因子,SIG 优于 AG。(3)当 cut-off 值设为 6.77mmol/L 时,SIG 的检测结果低于 cut-off 值,SIG 的阴性似然比为 0,敏感度高达 1.000,如果诊断结果为阴性,能立刻排除患者死亡风险。

**关键词** 急性呼吸衰竭 血气分析 强离子隙 阴离子隙 ROC 曲线

**中图分类号** R389      **文献标识码** A      **DOI** 10.11969/j.issn.1673-548X.2015.10.018

**Evaluation of Strong Ion Gap in Patients with Acute Respiratory Failure.** Zhang Zhongyuan, Zhang Tao. Department of Lab Med , The First Affiliated Nanping Hospital of Fujian Medical University, Fujian 353000 , China

**Abstract Objective** To evaluate the probability that strong ion gap was selected as predictive factor of mortality in patients with acute respiratory failure. **Methods** SIG was calculated with the Stewart - Figge model, after determination of blood gas, blood pH, serum electrolytes. **Results** ①The incidence of acute respiratory distress syndrome and source pulmonary edema was 26% respectively in patients with ARF. ②There was a significant difference in the values of  $\text{K}^+$ 、 $\text{Cl}^-$ 、 $\text{HCO}_3^-$ 、AG、pH、ALB、SIG、Cr, lactic acid,  $\text{PaCO}_2$  and  $\text{PaO}_2$  between group  $T_1$  and control. However, there was no significant difference between recovery group  $T_2$  and control. ③There was a significant difference in the value of AG and SIG between the recovery group  $T_1$  and death group  $T_1$  from the patients with ARF. ④SIG was a better predictor than AG by the evaluation of ROC curve. **Conclusions** AG and SIG can reflect the worse condition of acid - base disturbance in patients with ARF sensitively at the first beginning. Meanwhile, SIG may be served as a predictor for risk of mortality in patients with ARF better than AG.

**Key words** Acute respiratory failure; Blood gas analysis; Strong ion gap (SIG); Anion gap; ROC curve

急性呼吸衰竭(acute respiratory failure, ARF)是指呼吸功能原来正常,由于突发病因,引起通气或换气功能严重损害,一般在数分钟或数小时内发生,机体往往来不及代偿<sup>[1,2]</sup>。重症肺炎患者由于呼吸衰竭原因而死亡者已经超过 70%,因纵隔肥大而呼吸衰竭死亡者的病死率甚至达到 100%<sup>[3]</sup>。美国每年据统计有 34% ICU 危重症患者约 50 万人因呼吸衰竭原因需接受临床通气治疗才能缓解病情<sup>[4]</sup>。对于有

可能发生 ARF 危重患者,评估酸碱状态至关重要,它可以提示预后并指导医生治疗方向。但患者除了 ARF 造成的呼吸性酸中毒外,还常伴随着基础疾病带来的代酸或呼碱,故机体的酸碱紊乱很难用传统方法全面评估。一些研究者根据电中性和质量守恒两条原理,进行 Stewart - Figge 方法学计算,提出能校正低白蛋白血症、乳酸根和未测阴离子误差影响的强离子隙(the strong ion gap, SIG)概念<sup>[5]</sup>。国内已有研究报道了 SIG 在各种疾病中良好应用价值<sup>[6-9]</sup>。本研究将进一步探讨 SIG 在 ARF 患者中临床应用价值。

## 对象与方法

**1. 对象:**收集 2009 ~ 2014 年就诊于福建医科大学附属南平第一医院符合全国 ARF 诊断标准患者 106 例,其中,男性

基金项目:福建省卫生厅青年科研基金资助项目(2011 - 01 - 50)

作者单位:353000 福建医科大学附属南平第一医院(张忠源);福建医科大学基础医学院(章涛)

通讯作者:章涛,电子信箱:Zjdrzht@mail.fjmu.edu.cn

60 例,女性 46 例,患者年龄 13~88 岁,平均年龄  $54 \pm 17$  岁。同时配对选取同期入院、病区相同、性别相同、年龄相近(年龄 16~92 岁,平均年龄  $55 \pm 18$  岁)的 106 例病例作为对照组。经分析,实验组与对照组在年龄、性别等方面差异无统计学意义( $P > 0.05$ ),具有可比性。

2. 方法:(1)采用丹麦雷度 ABL800 血气分析仪、美国库尔特贝克曼 AU5800 生化分析仪及专机试剂和质控品测定各指标。(2)检测指标方法学:电极法: $K^+$ 、 $Na^+$ 、 $Cl^-$ 、pH 值、lactic acid、 $PaCO_2$ 、 $PaO_2$ ;计算法: $HCO_3^-$ 、AG、 $PO_4^-$ 、SIG;紫外终点法: $Pi^-$ ;溴甲酚绿法:ALB;苦味酸法:Cr。(3)计算变量:阴离子间隙(anion gap, AG)公式:AG (mmol/L) = ( $[K^+]$  +  $[Na^+]$ ) - ( $[Cl^-]$  +  $[HCO_3^-]$ );强离子隙(strong ion gap, SIG)计算公式:①  $SIG = AG - A^- = AG - \{ [ALB(g/dL)] \times (1.2 \times pH \text{ 值} - 6.15) + [PO_4^-(mg/dL)] (0.097 \times pH \text{ 值} - 0.13) \}$ ;②  $PO_4^-(mg/dL) = Pi^-(mmol/L) / 0.323$ 。强离子隙为正值时代表未测定的阴离子(硫酸、酮酸、枸橼酸、丙酮酸、醋酸、葡萄糖酸),而强离子隙为负值时代表未测定的阳离子<sup>[10,11]</sup>。

3. 统计学方法:计量资料采用均数 ± 标准差( $\bar{x} \pm s$ )表示,数据采用 SPSS 17.0 统计软件进行分析,以  $P < 0.05$  为差异有统计学意义。

## 结 果

1. ARF 入组患者基础疾病谱:106 名发生 ARF 患者中,90 名最终康复(恢复组),16 名抢救无效死亡(死亡组)。其中,ARF 发生率最高的基础疾病是急性呼吸窘迫综合征(占实验组总人数的

26%)和心源性肺水肿(占实验组总人数的 26%),而在已发生 ARF 的所有基础疾病中,病程最凶险的是急性肺梗死,一旦出现 ARF,病死率高达 50%(表 1)。

表 1 实验组 106 名急性呼吸衰竭患者的  
基础疾病描述 [ $n(\%)$ ]

| 疾病                 | ARF 组  |         | 总计     |
|--------------------|--------|---------|--------|
|                    | 恢复组    | 死亡组     |        |
| 急性呼吸窘迫综合征          | 26(29) | 2(12.5) | 28(26) |
| 心源性肺水肿             | 28(31) | 0(0)    | 28(26) |
| 急性肺梗死              | 8(9)   | 8(50)   | 16(15) |
| 颅脑外伤               | 10(11) | 2(12.5) | 12(11) |
| 脑血管意外              | 6(7)   | 2(12.5) | 8(8)   |
| 呼吸道感染              | 6(7)   | 0(0)    | 6(6)   |
| CO <sub>2</sub> 中毒 | 4(4)   | 0(0)    | 4(4)   |
| 喉头水肿               | 2(2)   | 0(0)    | 2(2)   |
| 上呼吸道急性梗死           | 0(0)   | 2(12.5) | 2(2)   |
| 合计                 | 90     | 16      | 106    |

2. ARF 组和对照组的各指标比较:ARF 组 T<sub>1</sub> 与对照组相比,除  $Na^+$  和  $PO_4^-$  无差别外,其余各指标差异均有统计学意义( $P < 0.01$ );但最终疾病转归为“恢复”的患者,抢救后同样指标的检测结果(恢复组 T<sub>2</sub>)与对照组相比,各指标差异均无统计学上意义。(表 2)。

表 2 ARF 组和对照组的各指标比较 ( $\bar{x} \pm s$ )

| 指标                              | ARF 组 T <sub>1</sub><br>(n = 106) | 恢复组 T <sub>2</sub><br>(n = 90) | 对照组<br>(n = 106)  | P     |       |
|---------------------------------|-----------------------------------|--------------------------------|-------------------|-------|-------|
|                                 | ARF 组 T <sub>1</sub> vs 对照组       | 恢复组 T <sub>2</sub> vs 对照组      |                   |       |       |
| $K^+$ (mmol/L)                  | $2.81 \pm 0.79$                   | $3.53 \pm 0.36$                | $3.64 \pm 0.41$   | <0.01 | >0.05 |
| $Na^+$ (mmol/L)                 | $145.85 \pm 10.75$                | $142.12 \pm 2.81$              | $143.96 \pm 3.90$ | >0.05 | >0.05 |
| $Cl^-$ (mmol/L)                 | $112.06 \pm 9.40$                 | $107.11 \pm 4.86$              | $108.41 \pm 5.20$ | <0.01 | >0.05 |
| $HCO_3^-$ (mmol/L)              | $23.76 \pm 7.05$                  | $21.22 \pm 3.58$               | $21.04 \pm 4.02$  | <0.01 | >0.05 |
| AG (mmol/L)                     | $13.55 \pm 8.15$                  | $8.35 \pm 2.15$                | $8.27 \pm 2.36$   | <0.01 | >0.05 |
| pH 值                            | $7.31 \pm 0.11$                   | $7.41 \pm 0.07$                | $7.40 \pm 0.06$   | <0.01 | >0.05 |
| $PO_4^-$ (mg/dL)                | $3.70 \pm 1.26$                   | $3.38 \pm 0.85$                | $3.34 \pm 0.95$   | >0.05 | >0.05 |
| ALB (g/dL)                      | $3.31 \pm 0.53$                   | $3.47 \pm 0.56$                | $3.80 \pm 0.68$   | <0.01 | >0.05 |
| SIG (mmol/L)                    | $5.35 \pm 8.08$                   | $0.38 \pm 1.36$                | $0.84 \pm 2.33$   | <0.01 | >0.05 |
| Cr ( $\mu\text{mol}/\text{L}$ ) | $112.37 \pm 65.47$                | $89.39 \pm 10.37$              | $84.83 \pm 12.35$ | <0.01 | >0.05 |
| lactic acid (mmol/L)            | $1.94 \pm 2.05$                   | $1.01 \pm 0.25$                | $1.08 \pm 0.32$   | <0.01 | >0.05 |
| $PaCO_2$ (mmHg)                 | $56.05 \pm 6.21$                  | $43.21 \pm 1.86$               | $42.13 \pm 2.14$  | <0.01 | >0.05 |
| $PaO_2$ (mmHg)                  | $50.74 \pm 5.44$                  | $92.17 \pm 2.32$               | $95.34 \pm 2.65$  | <0.01 | >0.05 |

3. ARF 患者中死亡组和恢复组各指标比较:发生 ARF 的患者中,抢救后最终疾病转归为恢复的患者与最终疾病转归为死亡的患者,发生急性呼吸衰竭后的第 1 次检测结果(即恢复组 T<sub>1</sub> vs 死亡组 T<sub>1</sub>)各

指标比较(表 3)。两组间只有 AG、SIG 差异有统计学意义( $P < 0.01$ ),其余各指标差异均无统计学意义( $P$  均  $> 0.05$ )。

**表 3 ARF 患者中死亡组和恢复组各指标比较**

| 指标                                     | 死亡组 T <sub>1</sub> (n = 16) | 恢复组 T <sub>1</sub> (n = 90) |
|--|-----------------------------|-----------------------------|
| K <sup>+</sup> (mmol/L)                | 3.01 ± 0.93                 | 2.77 ± 0.77                 |
| Na <sup>+</sup> (mmol/L)               | 149.01 ± 14.60              | 148.82 ± 10.14              |
| Cl <sup>-</sup> (mmol/L)               | 104.88 ± 6.63               | 113.34 ± 9.30               |
| HCO <sub>3</sub> <sup>-</sup> (mmol/L) | 20.48 ± 6.40                | 24.34 ± 7.06                |
| AG (mmol/L)                            | 23.62 ± 12.70               | 11.76 ± 5.59 *              |
| pH 值                                   | 7.29 ± 0.10                 | 7.35 ± 0.11                 |
| PO <sub>4</sub> <sup>-</sup> (mg/dl)   | 3.99 ± 1.54                 | 3.65 ± 1.21                 |
| ALB (g/dl)                             | 2.90 ± 0.44                 | 3.40 ± 0.51                 |
| SIG (mmol/L)                           | 16.44 ± 11.89               | 3.37 ± 5.32 *               |
| Cr (μmol/L)                            | 118.39 ± 43.64              | 111.29 ± 68.95              |
| lactic acid (mmol/L)                   | 1.66 ± 1.04                 | 1.99 ± 1.19                 |
| PaCO <sub>2</sub> (mmHg)               | 69.69 ± 3.34                | 53.63 ± 3.56                |
| PaO <sub>2</sub> (mmHg)                | 42.20 ± 2.29                | 52.26 ± 4.30                |

与死亡组 T<sub>1</sub> 比较, \* P < 0.05

4. ROC 曲线评价 AG 和 SIG 作为 ARF 组患者死亡预测指标的比较:(1)绘制 AG 和 SIG 两个连续型变量作为检验变量,患者结局(“1”为死亡,“0”为恢复)作为状态变量,制作 ROC 曲线。AG 和 SIG 的曲线下面积均显著大于诊断参考线下面积( $P < 0.01$ ,图 1)。其中 AG 曲线下面积(AUC)为 0.865,95% 可信区间(95% CI)为 0.782 ~ 0.949; SIG 曲线下面积(AUC)为 0.904,95% 可信区间(95% CI)为 0.844 ~ 0.965。(2)AG 和 SIG 两指标的 Youden 指数计算及确定 cut-off 值:AG 和 SIG 作为预测 ARF 死亡结局的指标,可能诊断界点的敏感度和误诊率(图 2、图 3)。其中,AG 的 Youden 指数最大为 0.635,cut-off 值为 15.4 mmol/L,此时的敏感度为 0.813(图 2 红色记号圈出的数据);SIG 的 Youden 指数最大为 0.778,cut-off 值为 6.77 mmol/L,此时的敏感度为 1.000(图 3 红色记号圈出的数据)。(3)AG 和 SIG 两指标的相关 ROC 曲线参数比较:SIG 的曲线下面积更大,达到 0.904,诊断准确性高;以 15.4 mmol/L 作为 AG 的 cut-off 值,以 6.77 mmol/L 作为 SIG 的 cut-off 值,计算相关 ROC 曲线参数,SIG 的敏感度、Youden 指数、阴性预测值、阴性似然比等参数也优于 AG,详见表 4。

## 讨 论

本研究首先将发生 ARF 的所有患者第 1 次检测结果 T<sub>1</sub> 与对照组相比,除 Na<sup>+</sup> 和 PO<sub>4</sub><sup>-</sup> 无差别外,其余各指标差异均有统计学意义( $P < 0.01$ )。这说明

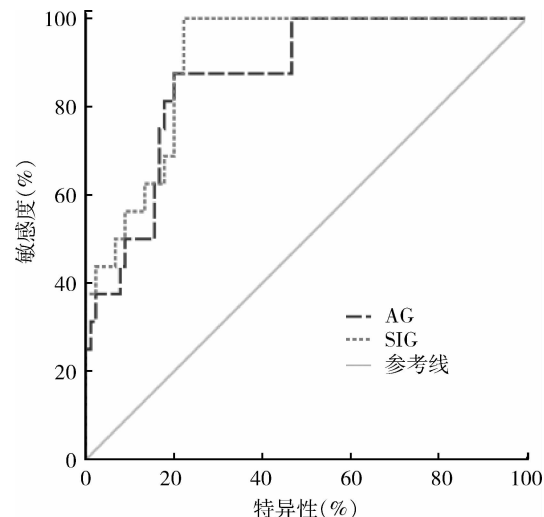


图 1 AG 和 SIG 作为 ARF 组患者预测死亡指标的 ROC 曲线图

发生 ARF 的患者与未发生 ARF 的患者相比,机体的酸碱紊乱情况是非常明显的,包括血气分析在内的常规指标都能反映出差异。接着笔者将最终疾病转归为“恢复”的患者,抢救后相同指标的检测结果(恢复组 T<sub>2</sub>)与未发生 ARF 的对照组相比,此时所有指标均无统计学上差异。这提示当患者 ARF 治疗有效后,机体复合的酸碱紊乱情况可以有效好转,回到原基础疾病的基线状态。

接着,笔者将发生 ARF 的患者中,抢救后最终疾病转归为恢复的患者与最终疾病转归为死亡的患者,发生急性呼吸衰竭后的第 1 次检测结果(即恢复组 T<sub>1</sub> vs 死亡组 T<sub>1</sub>)各指标进行比较分析,希望能筛选在发生 ARF 之初就可以发现患者体内复合酸碱紊乱,并预测患者死亡风险的指标。通过分析,笔者发现在其余各指标差异均无统计学意义( $P$  均  $> 0.05$ )的情况下,两组间 AG 和 SIG 水平差异有统计学意义( $P < 0.01$ )。这说明在发生 ARF 之初,AG 和 SIG 就可以较敏感的发现患者的复合酸碱紊乱状态,同时还提示 AG 和 SIG 指标有可能作为预测患者死亡风险的指标。那么,哪个指标更优异呢?

为了评价 AG 和 SIG 这两指标作为死亡风险预测因子的价值,笔者采用 ROC 曲线对两指标进行全面评估和比较分析,拟筛选出更优异的指标,服务于临床。第 1 步,分别以 AG 和 SIG 这两个连续型变量作为检验变量,患者结局(“1”为死亡,“0”为恢复)作为状态变量,运用 SPSS 统计软件制作 ROC 曲线。ROC 曲线,是以取不同阳性判断标准时的敏感度为

| 检验结果变量 | 大于或等于的阳性预测值 | 敏感度   | 1-特异性 |  |        |      |      |
|--------|-------------|-------|-------|--|--------|------|------|
| AG     | .500        | 1.000 | 1.000 |  | 14.500 | .875 | .289 |
|        | 2.000       | 1.000 | .978  |  | 14.650 | .875 | .267 |
|        | 3.800       | 1.000 | .956  |  | 14.750 | .875 | .244 |
|        | 4.800       | 1.000 | .911  |  | 14.950 | .875 | .222 |
|        | 5.650       | 1.000 | .889  |  | 15.150 | .875 | .200 |
|        | 6.000       | 1.000 | .844  |  | 15.250 | .813 | .200 |
|        | 6.750       | 1.000 | .822  |  | 15.400 | .813 | .178 |
|        | 7.450       | 1.000 | .800  |  | 16.050 | .750 | .178 |
|        | 7.800       | 1.000 | .778  |  | 16.750 | .750 | .167 |
|        | 8.100       | 1.000 | .756  |  | 17.050 | .625 | .167 |
|        | 8.550       | 1.000 | .711  |  | 17.625 | .625 | .156 |
|        | 8.950       | 1.000 | .689  |  | 18.075 | .563 | .156 |
|        | 9.050       | 1.000 | .667  |  | 18.200 | .500 | .156 |
|        | 9.250       | 1.000 | .622  |  | 18.350 | .500 | .133 |
|        | 9.450       | 1.000 | .600  |  | 18.450 | .500 | .111 |
|        | 9.650       | 1.000 | .578  |  | 18.850 | .500 | .089 |
|        | 9.950       | 1.000 | .556  |  | 19.250 | .438 | .089 |
|        | 10.350      | 1.000 | .511  |  | 19.350 | .438 | .078 |
|        | 10.800      | 1.000 | .489  |  | 19.520 | .375 | .078 |
|        | 11.700      | 1.000 | .467  |  | 21.070 | .375 | .067 |
|        | 12.500      | .875  | .467  |  | 22.700 | .375 | .044 |
|        | 12.850      | .875  | .444  |  | 24.550 | .375 | .022 |
|        | 13.250      | .875  | .422  |  | 26.350 | .313 | .022 |
|        | 13.450      | .875  | .400  |  | 26.650 | .313 | .011 |
|        | 13.750      | .875  | .356  |  | 27.250 | .250 | .011 |
|        | 14.200      | .875  | .333  |  | 28.100 | .250 | .000 |
|        |             |       |       |  | 40.300 | .125 | .000 |
|        |             |       |       |  | 53.100 | .000 | .000 |

图 2 AG 作为 ARF 组患者预测死亡指标的各可能诊断界点的敏感度和误诊率

| 检验结果变量 | 大于或等于的阳性预测值 | 敏感度   | 1-特异性 |  |             |       |      |
|--------|-------------|-------|-------|--|-------------|-------|------|
| SIG    | -7.35505099 | 1.000 | 1.000 |  | 4.71840148  | 1.000 | .378 |
|        | -6.34255913 | 1.000 | .978  |  | 5.20335467  | 1.000 | .356 |
|        | -5.34932386 | 1.000 | .956  |  | 5.74501707  | 1.000 | .333 |
|        | -3.98203996 | 1.000 | .933  |  | 6.16297998  | 1.000 | .311 |
|        | -3.43263532 | 1.000 | .911  |  | 6.47545685  | 1.000 | .289 |
|        | -2.59755699 | 1.000 | .889  |  | 6.64285590  | 1.000 | .267 |
|        | -1.61063479 | 1.000 | .867  |  | 6.77026222  | 1.000 | .222 |
|        | -1.17193865 | 1.000 | .844  |  | 6.86468652  | .938  | .222 |
|        | -.78503553  | 1.000 | .822  |  | 6.95772716  | .875  | .222 |
|        | -.46532040  | 1.000 | .800  |  | 7.21358828  | .875  | .200 |
|        | -.36967215  | 1.000 | .778  |  | 7.51468652  | .813  | .200 |
|        | -.31267869  | 1.000 | .756  |  | 7.90228274  | .750  | .200 |
|        | -.29190681  | 1.000 | .733  |  | 8.23578831  | .688  | .200 |
|        | -.12585020  | 1.000 | .711  |  | 8.28578831  | .688  | .178 |
|        | .32975271   | 1.000 | .689  |  | 8.46656990  | .625  | .178 |
|        | .65976823   | 1.000 | .667  |  | 9.01267060  | .625  | .156 |
|        | .69904292   | 1.000 | .644  |  | 9.56804475  | .625  | .133 |
|        | .85990644   | 1.000 | .622  |  | 9.82981849  | .563  | .133 |
|        | 1.02974759  | 1.000 | .600  |  | 10.26539030 | .563  | .111 |
|        | 1.08153866  | 1.000 | .578  |  | 10.60371903 | .563  | .009 |
|        | 1.13849513  | 1.000 | .556  |  | 11.62222561 | .500  | .089 |
|        | 1.40212734  | 1.000 | .533  |  | 12.80482235 | .500  | .067 |
|        | 1.69782802  | 1.000 | .511  |  | 13.23814407 | .438  | .067 |
|        | 2.53302918  | 1.000 | .489  |  | 13.42666319 | .438  | .044 |
|        | 3.41597726  | 1.000 | .467  |  | 14.00186061 | .438  | .022 |
|        | 3.81005206  | 1.000 | .444  |  | 15.36366002 | .375  | .022 |
|        | 4.25546363  | 1.000 | .422  |  | 17.15969949 | .375  | .000 |
|        | 4.45976865  | 1.000 | .400  |  | 20.05948097 | .250  | .000 |
|        |             |       |       |  | 32.40262554 | .125  | .000 |
|        |             |       |       |  | 43.79170958 | .000  | .000 |

图 3 SIG 作为 ARF 组患者预测死亡指标的各可能诊断界点的敏感度和误诊率

表 4 ARF 组患者 ROC 参数比较

| 项目  | cut-off<br>值 | a  | b  | c | d  | 敏感度   | 特异性   | Youden<br>指数 | 阳性<br>预测值 | 阴性<br>预测值 | 阳性<br>似然比 | 阴性<br>似然比 | 曲线下面<br>积 AUC |
|-----|--------------|----|----|---|----|-------|-------|--------------|-----------|-----------|-----------|-----------|---------------|
| AG  | 15.4         | 14 | 16 | 2 | 74 | 0.875 | 0.822 | 0.697        | 0.467     | 0.974     | 4.916     | 0.152     | 0.865         |
| SIG | 6.77         | 16 | 20 | 0 | 70 | 1.000 | 0.778 | 0.778        | 0.444     | 1         | 4.505     | 0         | 0.904         |

a. 真阳性; b. 假阳性; c. 假阴性; d. 真阴性

纵坐标,误诊率为横坐标绘制所得的曲线,又称为受试者工作特性曲线。ROC 曲线常用来决定最佳临界点,通常最接近左上角那一点,可定为最佳临界点;也可用来比较两种和两种以上诊断试验的诊断价值。在本研究中,AG 和 SIG 的曲线下面积均显著大于诊断参考线下面积( $P < 0.01$ )。作为可量化评价诊断试验准确度的指标,其中 AG 曲线下面积(AUC)为 0.865,诊断价值中等;SIG 曲线下面积(AUC)为 0.904,诊断价值较高。第 2 步,制定 AG 和 SIG 的 cut-off 值。cut-off 值,又称为界值(critical value),即将定量资料划分为两部分数值,需将定量测定的数据转换成阳性(异常)和阴性(正常)两类定性结果。常规取 Youden 指数最大时的测量值作为 cut-off 值,这是相应指标 cut-off 值设置的首要参考原则。约登指数(Youden's index)是指诊断试验能够正确区分患者和非患者的能力,也称正确诊断指数,Youden 指数 = 敏感度 + 特异性 - 1。cut-off 值的确定也可随诊疗目的而异,在本研究中如漏诊,没有引起医生的高度重视并采取相应的积极预防措施,患者的死亡风险会大大增高。故良好的敏感度,避免漏诊,是本研究中相应指标 cut-off 值设置的重要参考原则。在本研究中,笔者使用 SPSS17.0 统计软件的 ROC curve 统计结果,AG 和 SIG 作为预测 ARF 死亡结局的指标,AG 的 Youden 指数最大为 0.635,cut-off 值为 15.4 mmol/L,此时敏感度为 0.813,敏感度较高;SIG 的 Youden 指数最大为 0.778,cut-off 值为 6.77 mmol/L,此时敏感度为 1.000,敏感度最高。AG 和 SIG 两指标在 Youden 指数最大处设置的 cut-off 值,敏感度均较高,达到本研究的要求。第 3 步,确定 AG 的 cut-off 值设为 15.4 mmol/L,SIG 的 cut-off 值设为 6.77 mmol/L,进行 ROC 曲线参数的进一步比较。ROC 曲线参数一般包括以下 3 个方面:(1)评价真实性:常用指标包括敏感度、特异性和 Youden 指数等。敏感度(真阳性率)即实际有病而被试验诊断为有病者的百分率,SIG 敏感度优于 AG(1.000 vs 0.813);特异性(真阴性率)即实际无病被试验诊断为无病者的百分率,SIG 特异性低于 AG(0.822 vs 0.778);

Youden 指数是指诊断试验能够正确区分患者和非患者的能力,SIG 的 Youden 指数优于 AG(0.778 vs 0.697)。作为本研究死亡风险预测指标的高敏感度要求,SIG 在正确诊断能力高于 AG 的前提下,敏感度也高于 AG,故从评价真实性的角度,SIG 优于 AG。(2)预测值:是指在已知试验结果的条件下,表明有或无该病的概率。阳性预测值(positive predictive value,+ PV)指被试人如试验结果为阳性时患该病的可能性有多大,SIG 的 + PV 值低于 AG(0.444 vs 0.467)。阴性预测值(negative predictive value,- PV)指被试人如试验结果为阴性时未患该病的可能性有多大,SIG 的 - PV 值优于 AG(1.000 vs 0.974)。作为本研究死亡风险预测指标,SIG 的 - PV 值高达 1.000,表示如果诊断为阴性,即可排除患者出现死亡的高风险,同时减轻医生的工作负担和患者的医疗成本,是非常理想的指标,故从预测值的角度,SIG 仍优于 AG。(3)似然比:即有病者得出某一试验结果的概率与无病者得出这一概率的比值,称之为似然比(likelihood ratio, LR)。似然比可以全面反映诊断试验的诊断价值,且不受诊断试验诊断标准(cut-off 值)变化的影响,亦不受患病率影响。阳性似然比(+ LR):诊断性试验结果的真阳性率与假阳性率之比。阳性似然比愈大,提示阳性结果的正确率愈高,SIG 的 + LR 值低于 AG(4.505 vs 4.916)。阴性似然比(- LR):诊断性试验结果的假阴性率与真阴性率之比。阴性似然比愈小,提示阴性结果的正确率愈高,SIG 的 - LR 值优于 AG(0 vs 0.152)。

综合以上三方面相关 ROC 曲线参数,AG 和 SIG 这两个死亡风险预测指标相比较:SIG 曲线下面积更大,诊断准确性高。且作为 ARF 患者死亡风险的预测因子,SIG 敏感度高达 1.000,说明只要有死亡风险都能被诊断出;SIG 的 - LR 值低至 0,说明只要 SIG 的检测结果低于 cut-off 值,就能立刻排除患者死亡风险。至此,本研究的结果提示,当 cut-off 值设置为 6.77 mmol/L 时,SIG 可作为 ARF 患者死亡风险的预测因子,提示预后不良。

酸碱失衡在 ICU 危重症患者身上是很常见的,

但 SIG 对预后的确切影响仍不清楚。目前研究者对 SIG 指标在死亡风险预测中的价值作用仍存在较大争论。有一些研究者通过研究发现两者关联度极低。Rocktaeschel 等<sup>[12]</sup>通过对混合的成人危重病患者多变量分析发现,尽管 SIG 与病死率相关,但 SIG 值预测病死率的能力及其有限(ROC 下面积仅为 0.63; 95% CI: 0.56 ~ 0.70)。Fernando 等<sup>[13]</sup>用逻辑回归分析混合危重患者也得出类似的结论,算出 SIG 值预测死亡能力差(AUC = 0.61; 95% 可信区间: 0.47 ~ 0.74),认为 SIG 与病死率无关。但同时也有不少报道表达相反的观点,认为 SIG 与病死率有一定的关联。Kaplan 等<sup>[14]</sup>对创伤患者研究后,报道 SIG 是预测入住重症监护室的创伤患者[包括持续钝伤和(或)穿透伤]病死率很好的一个指标,且通过多元逻辑回归发现 SIG 是与病死率相关的最强单因素。Ratanarat 等<sup>[15]</sup>也指出,SIG 在败血症中有更高的预测价值。

通过对这些文献分析,笔者发现一个现象:反对“SIG 作为死亡风险预测因子”观点的文章研究对象多为混合病种患者,而支持“SIG 作为死亡风险预测因子”观点的文章研究对象多为单一病种。笔者推断,SIG 可能只在部分疾病可作为死亡风险预测因子,当研究对象为混合病种时,一些阴性病种就拉低了整体 SIG 预测死亡的能力,而当研究对象为阳性的单一病种时,SIG 作为死亡预测因子的优势就可以得到很好的体现。本研究中笔者的研究对象是单一病种——急性呼吸衰竭,通过分析得出“SIG 可作为死亡风险的预测因子,提示预后不良”的结论,这也进一步论证了该推断。

最早提出的“哥本哈根”或“丹麦”方法,即各种改良的指标如缓冲碱(buffer base, BB)、碱剩余(standard base excess, BE)等,被建议用于量化酸碱紊乱<sup>[16]</sup>。Bonatti 等<sup>[17]</sup>的研究报道证实,与之前的方法比较,简化后的 Stewart 方法仍能发现更多 ICU 患者的酸碱紊乱病情。SIG 能有效地鉴别哪些不被 AG 和乳酸区分出的重要酸碱失衡<sup>[18]</sup>。Abdulra 等<sup>[19]</sup>在肾移植患者的研究中发现 SIG 在阴离子积聚检测中比 AG 更敏感。Noritomi 等<sup>[20]</sup>的研究也提示 SIG 值降低可作为死亡预测因子。此外,SIG 在预测 ARF 患者的死亡风险时,该指标只需在患者检验动脉血气分析和静脉血电解质的基础上,通过公式计算即可得出 SIG 值。从而实现在不增加 ARF 患者经济负担前提下,为临床医生提供最大程度上发现复杂的酸碱紊

乱的指标,通过早期的积极的干预措施,挽救 ARF 患者的生命。

当然,本研究也存在一定的局限性。首先,这是一个单中心研究,可能存在患者和地域的选择偏移;其次,因时间限制,本课题的死亡组只收集到 16 个患者,属于小样本,代表性稍显不足;最后,笔者没有评估临床治疗措施的干扰因素。因此,笔者希望后续能与多家医院合作,多中心的收集 ARF 病例,以消除选择偏移并扩大样本量,进一步完善 SIG 在预测 ARF 死亡风险中的应用研究。

#### 参考文献

- Singh G, Pitoy W. Non-invasive ventilation in acute respiratory failure[J]. Acta Med Indones, 2014, 46(1): 74~80
- Jallu SS, Salzman GA. A case based approach to non-invasive positive pressure ventilation[J]. Hospital Practice, 2011, 39(3): 168~175
- Singh G, Amin Z, Wuryantoro, et al. Profile and factors associated with mortality in mediastinal mass during hospitalization at Cipto Mangunkusumo Hospital, Jakarta[J]. Acta Med Indones, 2013, 45(1): 3~10
- 任成山,钱桂生.呼吸衰竭的临床诊断与治疗[J].中华肺部疾病杂志,2011,4(1):63~76
- Asghar Rastegar. Clinical utility of stewart's method in diagnosis and management of acid-base disorders[J]. Clinical Journal of the American Society of Erophrology, 2009, 4(7): 1267~1274
- 张忠源,叶桂云,胡望平,等.强离子隙等三项酸碱失衡诊断指标在肾性低蛋白血症中的应用比较[J].中国实验诊断学,2009,13(2):83~86
- 张忠源,叶桂云,胡望平,等.强离子隙等三项酸碱失衡诊断指标在创伤中的应用比较[J].医学研究杂志,2009,38(9):123~125
- 张忠源,叶桂云,胡望平,等.强离子隙等指标在重症肺炎中的应用[J].国际检验医学杂志,2013,34(2):136~137
- 裴颖皓,陈娇,宫剑滨.强离子隙在慢性心力衰竭患者中的水平改变及临床意义[J].中华老年心脑血管病杂志,2014,16(5): 475~477
- Gue'rin C, Pascale P, Leray V, et al. Quantitative analysis of acid-base disorders in patients with chronic respiratory failure in stable or unstable respiratory condition [J]. Respiratory Care, 2010, 55(114): 1453~1463
- Kim S. Prognostic value of an initial strong ion gap in critically ill patients at the emergency department[J]. Annals of Emergency Medicine, 2005, 46(3): 104~105
- Rocktaeschel J, Morimatsu H, Uchino S, et al. Unmeasured anions in critically ill patients: can they predict mortality? [J]. Crit Care Med, 2003, 31(8): 2131~2136
- Fernando GZ, Marcelo P, Otavio TR, et al. Anion gap corrected for albumin, phosphate and lactate is a good predictor of strong ion gap in critically ill patients: a nested cohort study[J]. Rev Bras Ter Intensiva, 2013, 25(3): 205~211

(下转第 82 页)

其急性发作的重要原因之一,感染的本质是炎性反应,已有多个研究显示 RDW 与急性心肌梗死、脓毒症及病种混杂的危重病患者的预后密切相关<sup>[7~11]</sup>;并指出 RDW 能反应炎性反应的严重程度<sup>[2]</sup>。故笔者推测 RDW 水平可能与 AECOPD 患者的预后相关。

本研究发现,在 AECOPD 患者中,30 天死亡患者的 RDW 水平显著高于存活者,这说明 RDW 水平和该类患者的 30 天预后可能有关;同时,笔者也发现,白细胞计数、降钙素原等炎性指标亦有显著差异,这进一步说明了 COPD 的发病与炎症参与有关,也更表明严重的感染可能导致预后不良<sup>[12]</sup>。以 RDW 分层发现,高 RDW 水平的 30 天病死率显著增高,这进一步说明了 RDW 与预后密切相关。同时,笔者也发现,在死亡组中,心功能较差的患者比例显著高于存活组,而 RDW 与心力衰竭密切相关。这可能是 RDW 与 AECOPD 患者预后相关的发生机制之一,进一步以死亡为因变量进行逐步回归分析发现,除 RDW 外,较差的心功能及 WBC 亦与预后独立相关,这更进一步支持了心功能及感染严重程度对 AECOPD 患者的预后有较大影响<sup>[13,14]</sup>。

然而本研究存在一定的局限性,本研究系回顾性病例分析,无法明确因果关系;其次,因患者急性发作来就诊时,因无法配合完成肺功能检查及急诊科的特殊性,而导致患者的肺功能资料缺失,无法以肺功能分层进行进一步分析;再次,本研究仅对患者的近期预后进行了研究分析,未在进行长期的随访, RDW 对远期预后是否有评估价值需进一步研究以明确。

综上所述,入院时的 RDW 水平与慢性阻塞性肺疾病急性加重期患者的 30 天预后密切相关,高 RDW 水平的 AECOPD 患者发生死亡的风险增加,但仍需多中心、大样本的前瞻性研究以进一步证实。该指标有着简单易行,不额外增加患者经济负担的优势,尤

其适用于基层医院,应引起临床的重视。

## 参考文献

- 徐刚,刘春生,柳发虎,等.红细胞 MCV 与 RDW 检测在临床贫血诊断中的应用[J].检验医学与临床,2012,9(15):1907~1908
- 田李均,韩旭东,黄晓英.红细胞分布宽度与感染性休克患者预后关系研究[J].中国急救医学,2014,34(1):31~34
- Perlstein TS, Weuve J, Pfeffer MA, et al. Red blood cell distribution width and mortality risk in community-based prospective cohort[J]. Arch Intern Med, 2009, 169(6):588~594
- 刘同赏,郭彩宏,罗向军,等.慢性阻塞性肺疾病患者急性加重期 C 反应蛋白与纤维蛋白原及前白蛋白变化[J].中国医药,2010,5(6):519~521
- Ye M, Yu H, Yu W, et al. Evaluation of the significance of circulating insulin-like growth factor-1 and C-reactive protein in patients with chronic obstructive pulmonary disease[J]. J Int Med Res, 2012, 40(3):1025~1035
- 中华医学会呼吸病学分会慢性阻塞性肺疾病学组.慢性阻塞性肺疾病诊治指南[J].中华结核和呼吸杂志,2013,36(4):255~264
- 吴峰妹,黄建安. AECOPD 患者血清 PCT、CRP 变化及临床意义[J].国际呼吸杂志,2014,34(8):581~584
- Bircan A, Gokirmak M, Kilic O, et al. C-reactive protein levels in patients with chronic obstructive pulmonary disease: role of infection [J]. Med Princ Pract, 2008, 17(3):202~208
- Uysal OK, Duran M, Ozkan B, et al. Red cell distribution width is associated with acute myocardial infarction in young patients[J]. Cardiol J, 2012, 19(6):597~602
- Jo YH, Kim K, Lee JH, et al. Red cell distribution width is a prognostic factor in severe sepsis and septic shock[J]. Am J Emerg Med, 2013, 31(3):545~548
- 王飞,丁勇,姜婷婷,等.红细胞分布宽度对危重患者预后的评估价值[J].中华急诊医学杂志,2014,23(8):894~897
- 符沙沙,欧宗兴.慢性阻塞性肺疾病急性加重期血清脂联素与 8-异前列腺素 F2 $\alpha$  的相关性研究[J].医学研究杂志,2014,43(2):134~137
- Sincer I, Zorlu A, Yilmaz MB, et al. Relationship between red cell distribution width and right ventricular dysfunction in patients with chronic obstructive pulmonary disease[J]. Heart & Lung, 2012, 41(3):238~243
- 顾鹏,陈建荣,陈令东,等. BNP、CRP 和 cTNI 测定对 AECOPD 患者危险分层及预后判断的临床价值[J].临床急诊杂志,2014,15(2):79~81

(收稿日期:2015-02-06)

(修回日期:2015-02-26)

(上接第 69 页)

- Kaplan LJ, Kellum JA. Comparison of acid-base models for prediction of hospital mortality after trauma[J]. Shock, 2008, 29(6):662~666
- Ratanarat R, Sodapak C, Poompichet A, et al. Use of different approaches of acid-base derangement to predict mortality in critically ill patients[J]. J Med Assoc Thai, 2013, 96(12):216~223
- Kishen R, Honoré PM, Jacobs R, et al. Facing acid-base disorders in the third millennium—the Stewart approach revisited[J]. International Journal of Nephrology and Renovascular Disease, 2014, 7:209~217
- Bonatti MM, Cardoso PR, Castilho RK, et al. Acid-base disorders evaluation in critically ill patients: we can improve our diagnostic ability[J]. Intensive Care Med, 2009, 35(8):1377~1382
- Miller AC, Subramanian RA. Influenza A 2009 (H1N1) virus in admitted and critically ill patients[J]. Journal of Intensive Care Medicine, 2012, 27(1):25~31
- Abdulra F, Verzola D, Villaggio B, et al. Evaluation of metabolic acidosis in patients with a kidney graft: comparison of the bicarbonate-based and strong ion-based methods[J]. Transplantation Proceedings, 2011, 43(4):1055~1062
- Noritomi DT, Soriano FG, Kellum JA, et al. Metabolic acidosis in patients with severe sepsis and septic shock: a longitudinal quantitative study[J]. Crit Care Med, 2009, 37(10):2733~2739

(收稿日期:2015-01-07)

(修回日期:2015-01-09)